
병원망에서 멀티미디어 서비스를 위한 H-ARQ 기법 성능 분석

김성홍* · 석경휴*

Hybrid ARQ techniques for multimedia services in Hospital Network

Sung-hong Kim* · Kyung-hyu Suk*

요 약

본 논문에서는 병원에서 인터넷이나 멀티미디어 서비스 등 고속 패킷 전송에 있어서 전송 효율을 증대하기 위한 H-ARQ 기법에 대하여 고찰하였다. H-ARQ 기법의 성능 분석을 위하여 3GPP 시스템에서 WWW 트래픽 모델에 근거하여 각 타입별 성능에 대하여 고찰하였다. 또한 GPRS에 대하여 링크 적응 기법과 H-ARQ Type II 방식에 대한 링크 성능을 전송 효율 및 패킷 지연 차원에서 비교 분석하였다.

ABSTRACT

In this paper, we present hybrid ARQ techniques to improve the throughput performance in high speed packet transmission such as Internet or multimedia services in Hospital. In order to evaluate the performance of the three different types of hybrid ARQ schemes, systemized link level simulations based on WWW traffic model are considered. In this paper, we also consider the simulated performance for an average link throughput and a normalized packet delay to compare the hybrid ARQ with link adaptation scheme in GPRS.

키워드

Hybrid ARQ, Link Adaptation, 3GPP, Everage Link Throughput

1. 서 론

무선 이동 채널 환경에서 멀티미디어 서비스를 제공하기 위해서는 채널 환경 및 서비스 종류에 따라 다양한 방식의 오류 검출 및 정정 기법이 요구된다. 오류 검출에 대한 가장 일반적인 기법은 ARQ(Automatic Repeat reQuest)에 기본을 두고 있으며, 오류 정정 기법은 그 특성에 따라 터보 부호, 길쌈 부호, RS 부호 등 다양한 방식이 존재한다. 이러한 오류 정정 방식은 시간 지

연이 적고 송 수신단 사이에 별도로 주고 받는 정보가 필요 없다는 장점이 있지만 양호한 채널 환경 하에서 시스템 효율이 감소하는 단점이 있다. 반면 ARQ에 기반을 두고 있는 재전송 방식은 시간 지연이 발생하며, 열악한 채널 환경 하에서는 오히려 시스템 효율이 낮아지는 단점이 있다. 이러한 문제점을 해결하기 위해 제안된 것이 ARQ 기법과 오류 정정 기법을 결합한 Hybrid ARQ 방식이다. H-ARQ 방식에서는 CRC(Cyclic Redundancy Check)에 의해 에러가 검출되었을 때

* 순천청암대학 병원의료정보과
심사완료일자 : 2007. 05. 17

접수일자 : 2007. 04. 02

비로서 수신기가 추가적인 비트를 전송할 것을 송신기에 요구하게 된다. 이처럼 H-ARQ 방식에서는 채널 부호화와 재전송의 두 방식을 결합하여 보다 효율적인 오류 보상을 할 수 있도록 하였다[1][2].

본 논문에서는 멀티미디어 서비스를 위한 고속 패킷 전송 방식에 효율적으로 사용될 수 있는 다양한 H-ARQ 기법에 대하여 고찰하였다. 또한 3GPP UTRA 시스템 모델링에 적용된 다양한 H-ARQ 기법에 대한 성능에 대하여 고찰하였다.

II. H-ARQ 기법

H-ARQ 기법은 재전송되고 결합되는 형태에 따라 H-ARQ Type I, H-ARQ Type II, H-ARQ Type III의 세가지 방식으로 구분할 수 있으며, 여기에서 변형된 형태의 몇 가지 ARQ 방식이 현재 논의되고 있다. 본절에서는 기본적인 H-ARQ Type I, H-ARQ Type II, H-ARQ Type III에 대하여 고찰하고, 현재 주로 관심의 대상이 되고 있는 Chase combining, IR (Incremental Redundancy) 방식에 대하여 기술하고자 한다.

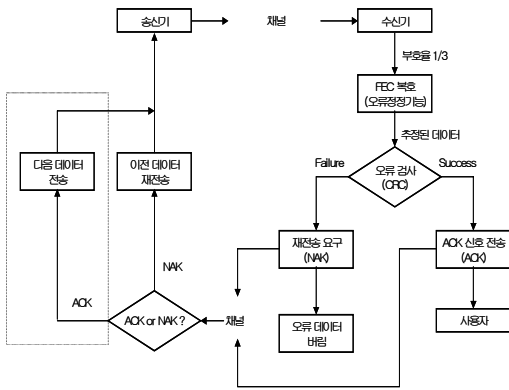


그림 1. H-ARQ type I 방식의 블록 다이어그램
Fig. 1 H-ARQ block diagram of type I methods

H-ARQ Type I 은 ACR(Adaptive Coding Rate) 기법이다[3]. 각각의 기본 전송 패킷은 그 자체가 하나의 완전한 전송 단위이며, 일정한 채널 부호율을 갖는다. 만약 기본 전송 패킷에 오류가 검출되었다면, 그 전송 패킷과 동일한 패킷이 송신단으로부터 재전송된다. 수신단에서는 오류가 있는 이전 기본 전송 패킷은 제거되

고, 그것과 동일하게 복사된 재전송 패킷이 독립적으로 복호된다. 그림 1에 H-ARQ Type I의 블록 다이어그램을 나타내었다.

무선 이동 채널을 통과하여 수신된 신호는 복조기를 거쳐 가우시안 잡음이나 페이딩의 영향을 반영한 값의 형태로 복호기로 전달된다. 복호기는 오류 정정 과정을 실행하고 추정된 데이터를 출력하여 주며, 추정된 데이터에 오류 존재 여부를 판단하여 오류가 포함되어 있지 않을 경우 사용자에게 전달한다. 만일 오류가 포함되어 있다고 판단된 경우에는 ARQ에 따라 재전송 과정이 시작되며, 이전에 수신된 데이터는 모두 버린다. 재전송을 통해 새로운 데이터가 수신되면 위의 과정을 반복하게 된다. H-ARQ Type I 방식은 채널 부호화된 simple-ARQ 방식이라고 할 수 있다. H-ARQ Type I의 변형된 방식으로 오류가 포함되었다고 판정된 데이터를 버리지 않고 저장하였다가 재전송된 데이터와 결합하는 기법이 있는데 이를 chase combining 기법이라 한다.

H-ARQ Type I 방식에서 FEC에 사용되는 부호는 오류 정정 기능과 동시에 오류 검출 기능을 가져야 한다. 이는 ARQ를 사용하는 시스템에 있어서 필수적이며 오류 정정을 위한 채널 부호 이외에 패리티 체크 비트(parity check bit)나 CRC(Cyclic Redundancy Check)와 같은 오류 검출 부호가 필요하다. 오류 정정 부호를 사용하게 되면 각 전송과 재전송에 있어서 오버헤드 부담을 증가시키게 되며, 그 결과로 채널 환경이 양호한 상황에서는 오류 정정 부호가 없는 simple-ARQ 방식을 사용할 때보다 전송효율이 떨어진다. 그러나 채널 환경이 열악해져 가면서 H-ARQ Type I 방식은 채널 부호가 가지는 오류 정정 능력에 의해 simple-ARQ 방식 보다 전송효율이 높아지게 된다. H-ARQ Type II는 AIR (Adaptive Incremental Redundancy) 기법에 속한다. Type II 기법에서는 재전송 되어야 하는 에러가 있는 기본 패킷이 버려지는 것이 아니라, 송신측에서 제공되는 다소 증가된 추가 비트들과 결합된다[4]. 또한 재전송되는 블록도 정보 비트 혹은 패리티 비트를 반복하는 것이 아니라 복호가 충분히 될 수 있을 때까지 더 낮은 부호율의 추가적인 비트를 전송하는 것이다. 첫번째 기본 전송 패킷은 높은 부호율, 전형적으로 7/8, 8/10 또는 1에 가까운 부호율로 전송하므로 이때는 패리티 비트가 거의 없다고 하겠다. 만약 CRC가 실패한다면 그 기본 전송 패킷에 관계되는 추가적인 정보가 전송된다. 두번째 전송은 더 낮은 부호율,

1/3 또는 1/2 정도로 추가적인 패리티 비트를 포함해서 전송하며 이들은 기본 전송 패킷의 첫번째 버전과 결합된다. 만약 모든 기본 전송 패킷 버전이 전송되어 결합된 후에도 여전히 CRC가 실패한다면 그때는 첫번째 버전이 재전송되고, 결합시 이전에 전송된 자리를 대신하게 된다 [4]. 이처럼 H-ARQ Type II 기법은 정보 비트와 패리티를 함께 전송하는 것을 피하고 대신 메시지를 복호할 수 있을 만한 부호화 블록을 만들기 위해 패리티 블록만을 전송하는 것이다. 그러므로 이전에 전송된 기본 패킷은 버려지지 않고 복호를 위해 사용된다. 성공적인 패리티 전송을 위해 비터비 복호 기법과 함께 RCPC(Rate Compatible Punctured Convolutional) 코드가 사용되고 있으며, 또한 RCPTC(Rate Compatible Punctured Turbo-Codes)가 소개 되고 있다. Type I에 비하여 Type II의 장점은 간섭에 의한 영향을 받더라도 기본 전송 패킷의 충분한 부분을 초기 높은 부호율에도 불구하고 오류 없이 전송 받는다면 더 높은 용량을 얻을 수 있게 된다. 또한 재전송된 블록은 소프트 결합될 수 있으므로 해당 패킷을 오류 없이 복호할 확률이 증가하게 된다. 그림 2에 H-ARQ Type II의 블록 다이어그램을 나타내었다.

H-ARQ Type II 방식에서 재전송 시 전송되는 부가적인 정보는 일반적으로 그 자체만으로는 복호가 가능하지 않다. 따라서 복호기는 재전송된 부가 정보 이외에 처음 전송되었던 패킷에 의존해야만 한다. 만일 첫번째 전송된 패킷이 손실되었거나 간섭 등에 의해 심하게 손상되었을 경우 H-ARQ Type II 방식은 커다란 성능 열화를 가져온다.

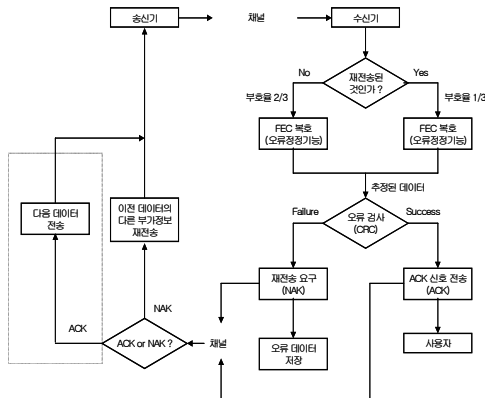


그림 2. H-ARQ type II 방식의 블록 다이어그램
Fig. 2 H-ARQ block diagram of type II methods

따라서 이러한 경우 전송된 첫번째 패킷에 의존하지 않고 재전송된 정보만으로 복호가 가능하다면 좀 더 향상된 성능을 획득할 수 있게 된다. 이러한 특성을 가지는 H-ARQ 방식을 H-ARQ Type III라고 하며 그림 3에 H-ARQ Type III 방식의 블록 다이어그램을 나타내었다.

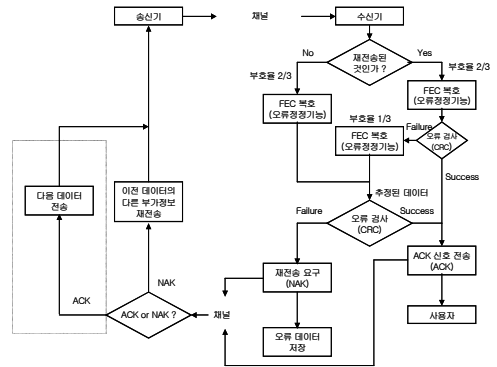


그림 3. H-ARQ type III 방식의 블록 다이어그램
Fig. 3 H-ARQ block diagram of type III methods

H-ARQ Type III 방식의 구현을 위하여 재전송 되는 부가 정보가 self-decodable한 특성을 가지는 부호들을 도입해야 한다. 예를 들면, 길쌈 부호를 기반으로 한 시스템에서 CPC (Complementary Punctured Convolutional) 코드라는 개념의 부호를 도입하여 H-ARQ Type III 방식을 구현할 수 있다[5]. CPC 코드는 재전송 시 전송되는 각 부호들이 동일한 에러 정정 능력을 가지도록 천공 되었으며 천공된 각각의 부호를 결합하게 되면 천공 이전의 원 부호 특성을 나타낼 수 있도록 설계되었다. H-ARQ Type III는 H-ARQ Type II와 마찬가지로 처음 송신시의 부호율을 채널 상황에 맞게 설정한 뒤 전송하게 되며 복호 후에 오류가 검출 되었다면 오류가 검출된 패킷을 버리지 않고 저장한 뒤 재전송을 요구한다. 재전송된 신호를 수신하게 되면 H-ARQ Type II와 달리 재전송된 부가 정보 만으로 복호를 수행하므로 처음 수신된 오류 패킷에 의존하지 않고 복호할 수 있게 된다. 만일 재전송된 패킷만으로 복호를 수행하였으나 오류가 발생하였다면 처음 전송된 패킷과 결합하여 낮은 부호율을 가지는 부호를 생성한 후 복호 과정을 다시 한번 거치게 되므로 에러 정정 능력이 향상되게 된다[4]. 따라서 H-ARQ Type III 방식은 다중 사용자에 의한 순간적인

간섭의 증가, 급격한 페이딩 상황의 변화에 따른 패킷의 심한 손상이나 손실에 따른 성능 열화에 좀더 효과적인 H-ARQ 방식이라 할 수 있다.

Full IR (Incremental Redundancy)은 H-ARQ Type II 방식을 HSDPA에서 부르는 이름으로써, IR이라는 뜻에 맞게 기본적으로 재전송되는 데이터는 계속하여 증가되는 부가 정보이다. Partial IR은 H-ARQ Type III 방식을 HSDPA에서 부르는 이름으로, 재전송될 데이터는 self-decodable한 특성을 지니고 있다. 터보 부호를 사용하는 시스템에서 복호시에 시스터메틱 정보가 매우 중요한 역할을 하기 때문에 self-decodable 하기 위해서는 재전송되는 부호에 시스터메틱 부호가 반드시 포함되어야 한다. 따라서 Full IR과는 달리 시스터메틱 정보는 반복해서 전송하게 되고 일부의 패리티 정보만을 부가적으로 보내주는 방식으로 Partial IR을 구현한다. Chase Combining은 H-ARQ Type I 방식의 변형으로 재전송 시 이전에 오류 발생 패킷을 버리지 않고 저장하였다가 재전송된 패킷과 결합하는 방식이다. 다른 관점에서 보면 H-ARQ Type III 방식에서 재전송되는 부가 정보가 동일한 특수한 경우라고 볼 수 있다.

III. 모의실험

각 타입의 H-ARQ의 성능에 대하여 알아보기 위하여 3GPP의 UTRA FDD 또는 TDD 모드를 기반으로 수행된 두 가지 모의실험 및 그 결과에 대하여 고찰하였다. 우선 첫번째 모의실험은 UTRA FDD 하향링크에 대해서 UDD-480kbps의 패킷 서비스를 기반으로 수행되었다. 본 모의실험에서는 H-ARQ Type I 방식과 Type III 방식의 기본적인 용량 측면의 성능 비교가 이루어졌다. 모의실험에서 부호율은 1/2이 고려되었으며, H-ARQ Type I 방식에서는 두 가지 부호어인 (c_{w1} , c_{w2})가 함께 전송됨을 가정하였다. H-ARQ Type III 방식에서는 부호율 1로 전송을 시작하며 이때 전송되는 부호어는 c_{w1} 을 가정하였다. 수신된 c_{w1} 에 대한 복호를 실패하는 경우에 c_{w2} 가 전송되며, 이 c_{w2} 는 독립적으로 복호된다. 두번째로 전송된 c_{w2} 역시 오류가 있는 경우에 이 두 부호어는 결합되어 복호된다. 만약 결합된 블록이 복호에 실패하면 부호어 c_{w1} 이 재전송되어 독립적

으로 복호를 수행하고, 나중에 기존의 c_{w2} 와 결합된다. 이에 대한 용량 측면에서의 시뮬레이션 결과가 다음 그림 4에 제시되었다.

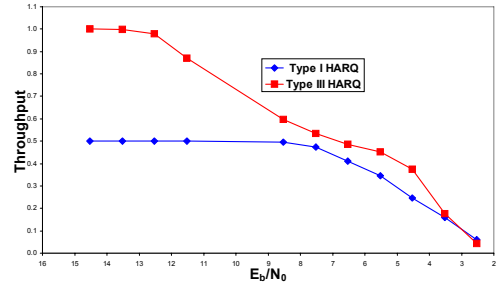


그림 4. H-ARQ type I과 type III 방식의 용량 분석
Fig. 4 H-ARQ type I and volumetric analysis of type III methods

그림에서 알 수 있는 것처럼, 큰 E_b/N_0 에서 type III는 첫번째 패킷이 부호율 1로 전송되기 때문에 성능은 거의 두 배가 된다. 이 성능은 E_b/N_0 가 작아질수록 급속히 감소하게 되는데, 이는 오류가 난 비트들을 포함한 패킷이 재전송을 요구하기 때문이다. 따라서 Type III 기법은 Type I 기법에 비하여 좋은 채널 환경에서 나은 성능을 발휘한다고 할 수 있다. 다음 모의실험에서는 GPRS에 대하여 링크 적응 기법과 H-ARQ Type II 방식에 대한 링크 성능을 비교 분석한 자료에 대하여 고찰하였다. 링크 적응 기법은 규칙적으로 링크 품질을 측정하여 가장 적절한 변조 방법과 코딩 기법을 선택하는 것이다. 이 방법은 링크상에서 사용자의 전송율을 최대화 할 수 있다. 링크 적응 알고리즘은 예측형(predictive) 또는 증가형(incremental) 두 가지 알고리즘이 사용된다[6]. 예측형 알고리즘은 현재 사용되는 기법의 성능뿐만 아니라, 모든 다른 사용 가능한 기법의 성능까지 추정해서 가장 좋은 성능을 발휘할 것으로 기대되는 하나를 선택하는 방식이다. 증가형 알고리즘 경우에는 단지 현재 사용되는 기법의 성능만을 추정하여 성능이 여의치 않는 경우 더 막강한 기법으로 스윙칭 시킨다. 증가형 링크 적응 알고리즘의 단점은 스윙칭 후에 성능이 어떻게 될 것인가에 대한 아무런 추정이 없다는 것이다. 해당 모의실험에서는 예측형 링크 적응 알고리즘을 사용하였다[7]. H-ARQ 시뮬레이션을 위하여 LLC 프레임은 고정된 1384비트의 사이즈 블록으로 나

뒤고, 이러한 블록은 1/3의 부호율로 부호화 된다.

실험이 수행되었다.

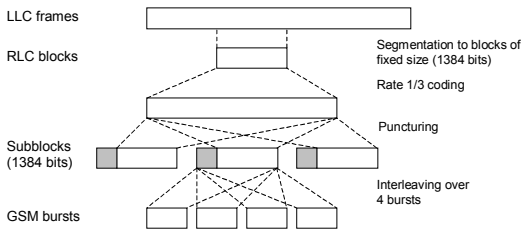


그림 5. H-ARQ Type II 기법 a에 대한 LLC 프레임 구성도
Fig. 5 H-ARQ about Type II techniques a LLC frame block diagrams

부호화 후, 천공에 의하여 IR 동작에 사용되는 3개 혹은 6개의 서브 블록을 만든다. 이러한 서브 블록 중 하나가 최초로 전송되는데, 만약 복호를 실패하게 되면 다른 서브 블록이 전송된다. 다른 RLC 블록에 속하는 서브 블록들은 동일한 4개의 버스트로 다중화될 수 있다. 헤더는 4개의 GSM 버스트로 인터리빙 되기 전에 각각의 블록들에 더해진다. 이때 헤더는 성능 평가에 포함되지 않는다. 다음 그림 5와 그림 6에 H-ARQ 기법에 대한 LLC 프레임의 구성도를 도시하였다.

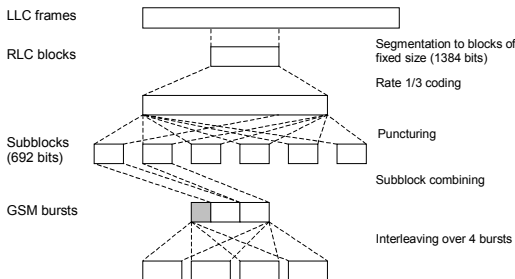


그림 6. H-ARQ Type II 기법 b에 대한 LLC 프레임 구성도
Fig. 6 H-ARQ about Type II techniques b LLC frame block diagrams

폭 넓은 범위의 평균 링크 품질에 대하여 두 기법을 비교하기 위하여 간섭 인자에 대한 경로 손실은 서로 다른 평균 C/I에 대응하는 것으로 설정할 수 있다. 표 1에 제시된 모의 실험 파라미터에 입각하여 링크 적응 기법과 H-ARQ Type II 기법이 적용되었다. 모의실험 구성도는 그림 7에서 보는 것처럼 패킷 전송을 기반으로 하고 있으며, WWW 트래픽 모델에 근거하여 모의

표 1. 모의실험용 파라미터
Table 1. Simulation parameter

Simulation Parameters	
Distance attenuation	$r^{3.5}$
Log-normal fading standard deviation	6 dB
Reporting period	10 blocks (200ms); fixed, i.e. no final poll
Protocol assumption	Error free feedback / No header errors No header overhead / No soft combining
Number of packets per simulation	1000
Miscellaneous	No frequency hopping, no soft combining

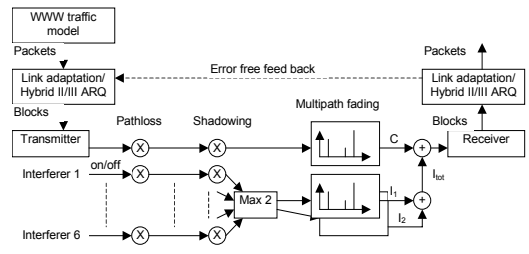


그림 7. 모의 실험 구성도
Fig. 7 Conference experimental block diagram

모의 실험 수행 결과, 평균 링크 효율은 H-ARQ Type II 기법이 링크 적응 기법보다 평균 C/I 5dB인 경우를 제외하고는 더 높은 것으로 나타났다. 반면에 정규화된 패킷 지연은 링크 적응 기법이 H-ARQ Type II 기법에 비하여 같거나 조금 더 나은 것으로 나타났다. 이것은 10블록의 주기로 응답하는 고정된 ACK/NACK를 갖는 H-ARQ Type II 기법에 대한 부호율 수렴 시간에 기인하는 것으로 추정된다. 그리고 패킷 사이즈가 감소할수록 모든 기법에 대한 링크 용량의 성능이 감소함을 보여준다. 다음 표 2와 표 3에 C/I에 대한 평균 링크 용량과 패킷 사이즈에 대한 평균 링크 용량에 대하

여 각각 결과를 제시하였다.

표 2. C/I에 대한 평균 링크 용량
Table 2. About C/I average link dosage

Simulation Parameters				
Average C/I [dB]	5	15	25	35
Link adaptation	5.2	14.3	38.6	61.4
H-ARQ Type II scheme a	3.8	15.2	44.5	63.0
H-ARQ Type II scheme b	3.6	15.6	47.2	64.3

표 3. 패킷 사이즈에 대한 평균 링크 용량
Table 3. About C/I average link dosage

Simulation Parameters		
Average packet size [kbyte]	1.0	4.1
Link adaptation	13.3	14.3
H-ARQ Type II scheme a	13.1	15.2
H-ARQ Type II scheme b	14.2	15.6

위의 두 가지 기법을 비교한 결과 전체적으로 H-ARQ Type II 기법이 링크 적응 기법보다 더 높은 링크 효율을 나타냈는데 여기에는 더 높은 정규화 패킷 지연을 감수해야 했다. 두 가지 경우의 H-ARQ Type II 기법을 비교한 결과도 위와 비슷하게 나타났다. 더 좋은 부호율을 사용하는 것이 더 높은 링크 효율의 결과를 가져왔으나 역시 정규화 패킷 지연은 더 높게 나타났다.

IV. 결 론

본 논문에서는 무선 이동 채널 환경에서 멀티미디어 서비스를 위한 고속 패킷 전송 방식에 효율적으로 사용될 수 있는 H-ARQ 기법의 다양한 방식에 대하여 고찰하였다. 또한 각각의 기법에 대한 용량 분석 모의실험 및 링크 적응 기법과 H-ARQ 기법의 비교를 통한 링크 용량 실험에 대하여 고찰하였다. H-ARQ Type I 방식

과 H-ARQ Type III 방식의 용량 실험에서는 E_b/N_0 에 따라 최초 부호율 만큼의 전송 효율 차이가 남을 확인하였다. 즉, 높은 E_b/N_0 에서는 최초 부호율이 높은 H-ARQ Type III 방식이 H-ARQ Type I 방식에 비하여 상대적으로 유리하였으며, 이 성능은 E_b/N_0 가 작아 질수록 급속히 감소함을 확인할 수 있었다. 링크 적응 기법과 H-ARQ Type II의 비교에서는 평균 링크 효율 측면에서 H-ARQ Type II 방식이 전반적으로 더 높은 효율을 나타냈으나 정규화된 패킷 지연 시간은 링크 적응 기법이 조금 더 나은 것을 확인하였다. 본 논문에서 고찰된 H-ARQ 기법은 링크 적응 기법과 더불어 고속의 멀티미디어 서비스를 제공하기 위한 통신 시스템에서 면밀히 검토되고 있다. 이러한 각 기법을 실제 시스템에 적용하여 그 효율을 검토하고 타일별 장단점을 파악하여 효과적인 H-ARQ 기법을 선정하는 것이 중요한 과제로 남아있다.

참고 문헌

- [1] S. Lin and D. Costello, Jr., "Error Control Coding : Fundamentals and Applications", Prentice Hall, 1983.
- [2] J. Hagenauer, "Rate-Compatible Punctured Convolutional Codes(RCPC Codes) and their Applications", IEEE Trans. Commun., Vol. 36, pp.389-400, Apr. 1988.
- [3] S. Kallel, "Efficient Hybrid ARQ Protocols with Adaptive Forward Error Correction", IEEE Transaction Communications, Vol. 42, Issue234, Part1, pp.281-289, Feb-Apr. 1994.
- [4] Siemens AG, "ARQ Error Control Techniques", SGR1#(99)178, Nynäshamn, March 1999.
- [5] TIA/EIA/IS-2000.2 (Ballot Version).
- [6] ETSI Joint SMG 1, 2, 3, and 4 EDGE Workshop, "Link Adaptation Quality Measures for Enhanced GPRS", Tdoc 013/98, 1998.
- [7] Ericsson, "Refined Link Performance Comparison of Link Adaptation and Hybrid II ARQ for Enhanced GPRS", Tdoc SMG2 WPB255/98, Hoje Taastrup, Aug. 1998.
- [8] Panasonic, "Hybrid ARQ Techniques for Efficient Support of Packet Data", Tdoc TSG/RAN/WG1#2, Yokohama, Feb. 1999.

저자 소개



김성홍(Sung-hong Kim)

1988년 : 광운대학교 전기공학과
공학사

1990년 : 광운대학교 전기공학과
공학석사

1994년 : 광운대학교 전기공학과 공학박사

2007년 : 전남대학교 의학박사수료 (분자 및 내분비
과정)

1999년 ~ 현재 순천천암대학 병원의료정보과 교수

※관심분야 : 전기 통신, 병원망, 의료정보 등



석경휴(Kyung-hyu Suk)

1955년 : 호남대학교 전자공학과
공학사

1997년 : 조선대학교 대학원 컴퓨
터공학과 공학석사

2005년 : 조선대학교 대학원 컴퓨터공학과 공학박사

1999년 ~ 2001년 : 조선대학교 컴퓨터공학과 겸임교수

2007년 ~ 현재 순천천암대학 병원의료정보과 교수

※관심분야 : 데이터 및 이동통신, TCP/IP, 무선 인터넷,
병원망, 의료정보 등